

HIDRAULIČKI TRANSPORT U VIDU GUSTE MEŠAVINE, DEO I: TONJENJE ZRNA U MEŠAVINI

Dejan KOMATINA
Građevinski fakultet u Beogradu

REZIME

Hidraulički transport čvrstih materijala u vidu guste mešavine se koristi u svetskoj praksi zbog pozitivnih efekata u tehničkom, ekonomskom i ekološkom pogledu. U radu je razmatrano pitanje tonjenja zrna u nenjutnovskim fluidima, kao jedno od značajnih pitanja za proračun hidrauličkog transporta u vidu guste mešavine. Ilustrovan je postupak proračuna koeficijenta otpora i brzine tonjenja zrna. Analiziran je domen primene datih izraza. Na konkretnom primeru je prikazan uticaj pojedinih faktora na brzinu tonjenja i ukazano je na specifičnosti u odnosu na slučaj tonjenja zrna u čistoj vodi.

Ključne reči: hidraulički transport, nenjutnovski fluid, gusta mešavina, brzina tonjenja, koeficijent otpora.

1. UVOD

Hidraulički transport čvrstih materijala predstavlja efikasan i ekonomičan način prenosa rastresitih materijala u rudarstvu i građevinarstvu, naročito kada se radi o transportu velikih količina materijala na udaljena mesta [1-5]. Za potrebe transporta, čvrsti materijal se najčešće meša sa vodom (na primer, ruda, rudna jalovina, pepeo i šljaka nastali sagorevanjem uglja u termoelektranama, pesak i šljunak), iako postoje i primeri prenosa materijala bez mešanja sa vodom (transport svežeg betona).

Poslednjih godina, u svetu se sve više primenjuje pristup hidrauličkog transporta u vidu guste mešavine [6,7]. Pri dovoljno visokoj koncentraciji sitnih čestica u vodi (čestice gline i prašine, koje mogu biti, ili namenski dodate u vodu, ili sastavni deo materijala koji se transportuje), čestice i voda formiraju homogeni noseći fluid, u kome se vrši transport krupnozrnog materijala. Primena ovog pristupa omogućava transport relativno

malim brzinama, čime se smanjuju eksploatacioni troškovi transporta (potrošnja električne energije i habanje okvašenih delova pumpe, cevovoda i armature), a u fazi odlaganja (jalovine ili pepela) ima višestruke pozitivne efekte: produženje veka trajanja deponije, povećanje stabilnosti deponije, kao i smanjenje zagadenja vode, vazduha i zemljišta.

Proračun otpora trenja pri hidrauličkom transportu u vidu guste mešavine, razlikuje se u odnosu na klasični proračun prvenstveno zbog toga što noseći fluid nije "čista" voda, već mešavina drugačijih (u opštem slučaju, nenjutnovskih) fizičkih svojstava. Usled primene guste mešavine kao nosećeg fluida, menjaju se [4]:
- uslovi tonjenja zrna u nosećem fluidu;
- otpori trenja u nosećem fluidu;
- ukupni otpori trenja pri hidrauličkom transportu.

Obzirom da je, u domaćoj literaturi, ovoj problematici do danas posvećena mala pažnja, u ovom radu je obrađeno jedno od navedenih pitanja – tonjenje zrna u nosećem fluidu (odносно, u gustoj mešavini). Ostali pomenuti aspekti biće predmet narednog članka.

2. TEORIJSKE OSNOVE

U radu se mešavina tretira kao sistem sačinjen od tri komponente [8]:

- vode, gustine ρ_v ,
 - čestica (gline i prašine), koncentracije C_{Vf} , reprezentativnog prečnika D_f i gustine ρ_{sf} , i
 - zrna (pesak i krupnije frakcije), koncentracije C_{Vk} i uniformnih karakteristika - prečnika D_k i gustine ρ_{sk} . Ukupna koncentracija čvrste faze je: $C_V = C_{Vf} + C_{Vk}$.
- Noseći fluid sačinjavaju čestice i voda. Smatra se da je brzina tonjenja čestica (koje formiraju noseći fluid) zanemarljivo mala u odnosu na brzinu tonjenja zrna.

Gustina nosećeg fluida je jednaka:

$$\rho_l = \frac{\rho_{sf} \cdot C_{Vf} / 100 + \rho_v \cdot (1 - C_V / 100)}{1 - C_{V_k} / 100}. \quad (1)$$

Noseći fluid. Poznato je da na fizička svojstva mešavine značajno utiče koncentracija čvrste faze u vodi i to, pre svega, učešće sitnih frakcija – čestica [8]. Pri niskim koncentracijama, rastojanje između čestica je veliko, a verovatnoća interakcija čestica mala, tako da je uticaj prisustva čestica na promenu gustine ili viskoznosti praktično zanemarljiv. Sa porastom koncentracije dolazi do interakcija čestica, formiranja agregata, promene gustine i viskoznosti i pojave nenjutnovskih svojstava nosećeg fluida. Pri određenoj “graničnoj” koncentraciji dolazi do formiranja mrežne strukture i pojave čvrstoće na smicanje (“granične nosivosti”). Noseći fluid postaje viskoplastični materijal, za koji važi zavisnost:

$$\tau = \tau_c + f(\dot{\gamma}), \quad \tau > \tau_c \quad (\text{viskozno tečenje})$$

$$\dot{\gamma} = 0, \quad \tau \leq \tau_c \quad (\text{plastično tečenje}), \quad (2)$$

gde su τ i $\dot{\gamma}$ - napon i brzina smicanja u posmatranom fluidnom deliću, a τ_c - granična nosivost mešavine. Funkcija $f(\dot{\gamma})$ obuhvata, u opštem slučaju, viskozne i turbulentne napone, τ_v i τ_t .

Nenjutnovska svojstva nosećeg fluida se, u proračunu, moraju opisati konstitutivnom vezom. Može se, na primer, koristiti troparametarski reološki model [9]:

$$\tau_o = \tau_c + \tau_v = \tau_c + \eta \cdot \Gamma^m, \quad \tau > \tau_c,$$

$$\Gamma = 0, \quad \tau \leq \tau_c, \quad (3)$$

gde su: τ_o i Γ - napon i brzina smicanja na “čvrstoj granici”, η - indeks konzistencije, a m - indeks tečenja. Veličine τ_c , η i m su parametri modela (reološki parametri mešavine), čije se vrednosti određuju eksperimentalno.

Pod pretpostavkom da brzina smicanja Γ pri tonjenju zrna odgovara odnosu W_s/D_k (W_s - brzina tonjenja grupe zrna), izraz (3) se može prikazati u obliku [9]:

$$\tau_o = \tau_c + \tau_v = \tau_c + \eta \cdot (W_s/D_k)^m, \quad \tau > \tau_c.$$

$$W_s = 0, \quad \tau \leq \tau_c. \quad (4)$$

Dimenziona analiza. Funkcija, kojom se može opisati tonjenje zrna u mešavini nenjutnovskog karaktera, ima sledeći oblik [8]:

$$f_1(\rho_l, \eta, \tau_c, m, \rho_{sk}, D_k, C_{V_k}, f_M, d, g, W_s) = 0, \quad (5)$$

gde su: f_M - faktor oblika McNowna-a, kojim se

obuhvata odstupanje oblika zrna od sfernog; d - karakteristična dimenzija sredine u kojoj se odvija taloženje i g - gravitaciono ubrzanje.

Ako se, kao osnovne veličine, usvoje ρ_l , D_k i W_s , onda se, primenom Π -teoreme, funkcija (5) može predstaviti u obliku:

$$f_2(\Pi_\eta, \Pi_{\tau_c}, \Pi_m, \Pi_{\rho_{sk}}, \Pi_{C_{V_k}}, \Pi_{f_M}, \Pi_d, \Pi_g) = 0, \quad (6)$$

gde su bezdimenzionalni brojevi:

$$\Pi_\eta = \frac{\eta \cdot (W_s/D_k)^m}{\rho_l W_s^2}; \quad \Pi_{\tau_c} = \frac{\tau_c}{\rho_l W_s^2}; \quad \Pi_m = m;$$

$$\Pi_{\rho_{sk}} = \frac{\rho_{sk} - \rho_l}{\rho_l} = \Delta; \quad \Pi_{C_{V_k}} = C_{V_k}; \quad \Pi_{f_M} = f_M;$$

$$\Pi_d = \frac{d}{D_k}; \quad \Pi_g = \frac{g D_k}{W_s^2}.$$

Da bi se uspostavila veza datih bezdimenzionalih veličina, moraju se uvesti određena pojednostavljenja. Uobičajeno, posmatra se tonjenje usamljenog zrna ($C_{V_k} = 0$) u nosećem fluidu neograničene zapremine ($D_k/d = 0$), čemu odgovara funkcija oblika:

$$f_3(\Pi_\eta, \Pi_{\tau_c}, \Pi_m, \Pi_{\rho_{sk}}, \Pi_{f_M}, \Pi_g) = 0, \quad (7)$$

u kojoj prva veličina predstavlja Reynolds-ov broj zrna ($Re_t = 1/\Pi_\eta$), a poslednja, Froude-ov broj zrna ($Fr_t = \Pi_g$), uz zamenu $W_s = W_o$ (W_s - brzina tonjenja grupe zrna, W_o - brzina tonjenja usamljenog zrna).

Funkcija (7) se dalje može pojednostaviti uvođenjem koeficijenta otpora tonjenju zrna, c_D :

$$f_4(c_D, \frac{\tau_c}{\rho_l W_o^2}, \Delta, \frac{g D_k}{W_o^2}) = 0, \quad (8)$$

odnosno:

$$W_o = W_o(c_D, \frac{\tau_c}{\rho_l}, \Delta, g D_k), \quad (9)$$

gde je:

$$c_D = c_D(\Pi_\eta, \Pi_{\tau_c}, \Pi_m, \Pi_{f_M}), \quad (10)$$

ili:

$$c_D = c_D(Re_t, He_t, m, f_M), \quad (11)$$

a He_t predstavlja Hedström-ov broj [2]:

$$He_t = \Pi_{\tau_c} \cdot \left(\frac{\Pi_\eta}{\Pi_{\tau_c}} \right)^{2/\Pi_m} = \frac{\rho_l \cdot D_k^2}{\tau_c} \cdot \left(\frac{\tau_c}{\eta} \right)^{2/m}.$$

Vrednost koeficijenta otpora tonjenju zrna. Za proračun vrednosti koeficijenta otpora c_D tonjenju zrna u gustoj mešavini nenjutnovskih svojstava, može se primeniti postupak za slučaj tonjenja u njutnovskom fluidu (vodi), ako se definiše "proširenji" Reynolds-ov broj $Re_{t,p}$, tako da obuhvati sve reološke parametre fluida:

$$c_D = c_D(Re_t, He_t, m, f_M) = c_D(Re_{t,p}, f_M) . \quad (12)$$

Na primer, ako se koristi $Re_{t,p}$ u obliku [2]:

$$Re_{t,p} = \frac{(k_1 \cdot Re_t)^2}{k_1 \cdot Re_t + k_2 \cdot He_t} , \quad (13)$$

gde su $k_1 = 8 \cdot \left[\frac{m}{2(3m+1)} \right]^m$ i $k_2 = 7\pi/24$, onda je

funcija (12) identična onoj za tonjenje u čistoj vodi i, za zrno sfernog oblika ($f_M = 1$), glasi:

- laminarni (Stokes-ov) režim tonjenja ($Re_{t,p} < 1$):

$$c_D = 24/Re_{t,p} , \quad (14)$$

- prelazna oblast ($1 \leq Re_{t,p} < 500$):

$$c_D = 18/Re_{t,p}^{0.6} , \quad (15)$$

- turbulentni režim tonjenja ($Re_{t,p} \geq 500$):

$$c_D = 0.45 . \quad (16)$$

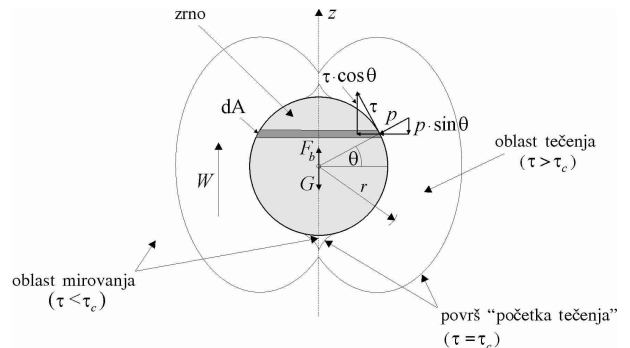
Zamenom $m=1$ u izrazima (3)-(16) dobijaju se obrasci za Bingham-ov fluid, zamena $\tau_c=0$ daje izraze za stepeni model, a $\tau_c=0$ i $m=1$, za njutnovski fluid.

Brzina tonjenja usamljenog zrna u fluidu neograničene zapremine. Posmatra se idealizovani slučaj tonjenja usamljenog zrna prečnika D_k i gustine ρ_{sk} , u nosećem fluidu gustine ρ_l , koje se odvija isključivo pod dejstvom gravitacione sile. Prepostavlja se da je noseći fluid homogen, izotropan, nestišljiv i nenjutnovski (sa reološkim parametrima τ_c , η i m), neograničene zapremine.

U slučaju male brzine tonjenja ($Re_{t,p} \approx 0$, odnosno

$\tau_c \gg \eta (W_o/D_k)^m$ ili $Re_t \ll He_t$), proces se može predstaviti shemom datom na Slici 1 [9,10]. Tonjenje zrna izaziva uzlazno strujanje fluida u njegovoj neposrednoj blizini, gde je napon smicanja veći od granične nosivosti mešavine ($\tau > \tau_c$). U oblasti gde granični napon nije premašen ($\tau < \tau_c$), mešavina ostaje u stanju mirovanja. Sa porastom Re_t -broja u odnosu na vrednost He_t , oblast tečenja se povećava, da bi u

slučaju $\tau_c=0$ ($He_t=0$) postala "beskonačno velika", što odgovara Stokes-ovoj shemi tonjenja u fluidu bez granične nosivosti.



Slika 1. Sile pri tonjenju čestice u mešavini.

U posmatranom slučaju tonjenja (Slika 1), jednačina ravnoteže sile u pravcu z -ose ima oblik [11]:

$$F = G - F_b - F_s = G' - F_s , \quad (17)$$

gde su:

F - inercijalna sila:

$$F = \rho_{sk} \cdot V_{sk} \cdot \frac{dW}{dt} , \quad (18)$$

pri čemu je V_{sk} - zapremina zrna, a W - brzina tonjenja u trenutku t ;

G - težina zrna u suvom stanju:

$$G = \rho_{sk} \cdot V_{sk} \cdot g ; \quad (19)$$

F_b - sila potiska:

$$F_b = \rho_{sk} \cdot V_{sk} \cdot g \cdot (\rho_l / \rho_{sk}) = \rho_l \cdot V_{sk} \cdot g , \quad (20)$$

gde se gustina nosećeg fluida ρ_l određuje prema izrazu (1), uz $C_{V_k}=0$;

G' - težina zrna u potopljenom stanju:

$$G' = G - F_b = (\rho_{sk} - \rho_l) \cdot g \cdot V_{sk} , \quad (21)$$

F_s - sila otpora tonjenju zrna:

$$F_s = T + P = \iint_A \tau \cdot \cos \theta \cdot dA + \iint_A p \cdot \sin \theta \cdot dA . \quad (22)$$

Napon smicanja τ u jednačini (22) se, prema izrazu (2), može prikazati u vidu:

$$\tau = \tau_c + f(dW/dr) , \quad \tau > \tau_c \\ dW/dr = 0 , \quad \tau \leq \tau_c . \quad (23)$$

Data jednačina podrazumeva da nema tonjenja zrna ukoliko je napon u fluidnom polju oko njega, izazvan težinom zrna, manji od graničnog ($\tau < \tau_c$). U tom slučaju, posmatrano zrno "pluta" u mešavini zahvaljuju-

či njenoj graničnoj nosivosti. U slučaju da tonjenje zrna postoji (kada je u neposrednoj blizini zrna $\tau > \tau_c$), sila izazvana dejstvom tangencijalnih napona, T , se može razložiti na dva dela: silu T_1 , srazmernu graničnoj nosivosti τ_c i silu usled viskoznosti T_2 (drugi sabirak u jednačini (23)), što dovodi do transformacije izraza (22) u oblik:

$$\begin{aligned} F_s = T_1 + T_2 + P = \iint_A \tau_c \cdot \cos \theta \cdot dA + \\ + \iint_A f \left(\frac{dW}{dr} \right) \cdot \cos \theta \cdot dA + \iint_A p \cdot \sin \theta \cdot dA \end{aligned} . \quad (24)$$

U odnosu na "Stokes-ov otpor" tonjenju u njutnovskom fluidu, koji obuhvata drugi i treći sabirak u izrazu (24), postoji dodatna komponenta otpora (prvi sabirak), usled postojanja granične nosivosti mešavine [12].

Pod pretpostavkom sfernog oblika posmatranog zrna, zbir sila $T_2 + P$ se definiše u obliku:

$$F_{sN} = T_2 + P = c_D \cdot \frac{D_k^2 \cdot \pi}{4} \cdot \frac{\rho_l \cdot W^2}{2}, \quad (25)$$

a sila T_1 se može predstaviti u obliku [11]:

$$F_{sc} = T_1 = \tau_c \cdot \left(\frac{D_k \cdot \pi}{2} \right)^2. \quad (26)$$

Sila T_1 je nezavisna od gradijenta brzine, a samim tim i od brzine tonjenja.

Koristeći navedene izraze, jednačina ravnoteže sila (17) može se prikazati kao:

$$\underbrace{\rho_{sk} \cdot \frac{D_k^3 \cdot \pi}{6} \cdot \frac{dW}{dt}}_F = \underbrace{(\rho_{sk} - \rho_l) \cdot g \cdot \frac{D_k^3 \cdot \pi}{6}}_G - \underbrace{\left(\tau_c \cdot \frac{D_k^2 \cdot \pi^2}{4} + c_D \cdot \frac{D_k^2 \cdot \pi}{4} \cdot \frac{\rho_l \cdot W^2}{2} \right)}_{F_{sc}} \quad (27)$$

odnosno, u bezdimenzionom obliku:

$$\underbrace{\frac{4}{3} \cdot \frac{D_k}{W^2} \cdot \frac{\rho_{sk}}{\rho_l} \cdot \frac{dW}{dt}}_{F_*} = \underbrace{\frac{4}{3} \cdot \frac{g D_k}{W^2} \cdot \Delta}_{G_*} - \underbrace{\left(2\pi \cdot \frac{\tau_c}{\rho_l \cdot W^2} + \frac{c_D}{F_{sN}*} \right)}_{F_{sc*}} \quad (28)$$

ili

$$\frac{dW}{dt} = \frac{\rho_{sk} - \rho_l}{\rho_{sk}} \cdot g - \frac{3\tau_c \cdot \pi}{2\rho_{sk} \cdot D_k} - c_D \cdot \frac{3\rho_l \cdot W^2}{4\rho_{sk} \cdot D_k}. \quad (29)$$

Obrazac za brzinu ustaljenog, jednolikog tonjenja zrna, W_o , dobija se kada se izvod na levoj strani izraza (29) izjednači sa nulom [11]:

$$W_o = \sqrt{\frac{4}{3} \cdot \frac{1}{c_D} \cdot \Delta \cdot g \cdot D_k - 2\pi \cdot \frac{1}{c_D} \cdot \frac{\tau_c}{\rho_l}}, \quad (30)$$

odakle se dobija izraz za koeficijent otpora c_D , oblika:

$$c_D = \frac{4}{3} \cdot \frac{\Delta \cdot g \cdot D_k}{W_o^2} - 2\pi \cdot \frac{\tau_c}{\rho_l \cdot W_o^2}. \quad (31)$$

Iz izraza (30), zamenom $\tau_c = 0$ se dobija poznata relacija za tonjenje čestica u njutnovskom fluidu.

Iz izraza (30) se vidi da brzina tonjenja u mešavini, zbog veće gustine ρ_l i postojanja granične nosivosti τ_c , mora biti manja nego brzina tonjenja istog zrna u vodi. Brojni rezultati eksperimenata pokazuju da ova razlika iznosi i do nekoliko redova veličine [13].

Brzina tonjenja W_o se izračunava primenom sledećeg iterativnog postupka:

1. pretpostavi se vrednost W_o ;
2. za prepostavljenu brzinu W_o , na osnovu prethodno određenih vrednosti reoloških parametara nosećeg fluida, primenom obrascu (13) se izračunava $Re_{t,p}$;
3. izračunava se vrednost c_D primenom jednog od izraza (14)-(16), u zavisnosti od vrednosti $Re_{t,p}$;
4. izračunava se vrednost W_o , prema obrascu (30);
5. porede se prepostavljena i računska vrednost W_o ;
6. sa dobijenom (računskom) vrednošću W_o , postupak se ponavlja (počev od koraka 2), dok se ne postigne zadovoljavajuće slaganje.

Osnovna razlika u odnosu na tonjenje zrna u njutnovskom fluidu, posledica je postojanja granične nosivosti mešavine, usled čega se deo krupnih frakcija održava u mešavini bez taloženja [14]. Prečnik najkrupnijeg zrna koje se ne taloži usled postojanja granične nosivosti, D_o , određuje se zamenom $W_o = 0$ u izrazu (30) [4,11]:

$$D_o = \frac{3\pi}{2} \cdot \frac{\tau_c}{(\rho_{sk} - \rho_l) \cdot g}. \quad (34)$$

Obzirom da prečnik D_o direktno zavisi od parametra τ_c , vrednost D_o zavisi od koncentracije, granulometrijskog i mineraloškog sastava čestica nosećeg fluida [8].

Brzina tonjenja grupe zrna u fluidu neograničene zapremine. Prisustvo veće količine zrna u mešavini odražava se na brzinu tonjenja kroz dva mehanizma: a) "preklapaju" se zone poremećaja ("oblasti tečenja"), koje se javljaju u neposrednoj okolini zrna koja tonu (Slika 1); b) povećava se gustina mešavine i menjaju se vrednosti reoloških parametara fluida u kome se tonjenje odvija. Oba efekta utiču na smanjenje brzine tonjenja W_s u odnosu na brzinu tonjenja usamljenog zrna W_o u istom fluidu [15].

Za proračun W_s se najčešće primenjuje empirijska funkcija Richardson-a i Zaki-ja [15]:

$$W_s = W_o \cdot (1 - C_{V_k} / 100)^\alpha, \quad (35)$$

gde je W_o - brzina tonjenja usamljenog zrna u fluidu neograničene zapremine, sračunata primenom obrasca (30). Vrednost koeficijenta α zavisi od parametara Re_t , Δ i C_{V_k} [16], kao i odnosa D_k/d u slučaju tonjenja u fluidu ograničene zapremine [17]. Najčešće se α definiše u zavisnosti od Re_t - na primer, $\alpha \approx 4.7$ (za $Re_t < 0.4$), odnosno $\alpha \approx 2.3$ (za $Re_t > 1000$) [13].

Uticaj ograničenosti zapremine fluida na brzinu tonjenja. Ovaj uticaj se obuhvata parametrom D_k/d u funkciji (6). Eksperimentalna istraživanja pokazuju da je ovaj uticaj posebno izražen u laminarnom režimu tonjenja [18], a izraženiji je kod fluida sa graničnom nosivošću, nego kod pseudoplastičnih fluida [9]. U sva tri režima tonjenja, uticaj zidova je manji kod nenjutnovskih nego kod njutnovskih mešavina [19].

Efekat ograničenosti zapremine fluida na brzinu tonjenja manji je kod nesferičnih nego kod sferičnih čestica, kako u njutnovskim [20], tako i u nenjutnovskim mešavinama [21]. Kao i u slučaju sfernih čestica, i kod nesferičnih čestica je uticaj ograničenosti zapremine manji pri tonjenju u nenjutnovskim, nego u njutnovskim fluidima [21].

Jedan od često primenjenih izraza za brzinu tonjenja u fluidu ograničene zapremine je [1]:

$$W'_o = W_o \cdot \left[1 + \frac{9}{4} \frac{D_k}{d} + \left(\frac{9}{4} \frac{D_k}{d} \right)^2 \right], \quad (36)$$

gde je W'_o - brzina tonjenja u sudu prečnika d , a W_o - brzina tonjenja usamljenog zrna u fluidu neograničene zapremine, sračunata primenom obrasca (30).

Tonjenje zrna u pokretnoj mešavini. Promena brzine tonjenja u tokovima mešavina, u odnosu na brzinu tonjenja u mešavini koja miruje, prouzrokovana je pre svega promenom reoloških parametara mešavine pod uticajem tečenja. Smatra se da se vrednosti reoloških parametara ne menjaju u laminarnom režimu tečenja, pa je razlika u brzini tonjenja vezana za turbulentni režim tečenja mešavine.

Turbulencija toka ima dvojak uticaj na tonjenje čestica: 1) usled delovanja sila turbulentne difuzije, brzina tonjenja se smanjuje u odnosu na fluid u stanju mirovanja; 2) pod dejstvom turbulencije, mrežna struktura mešavine se u izvesnoj meri razgrađuje, zbog čega se brzina tonjenja povećava [13]. Sa stanovišta hidrauličkog transporta, može se smatrati da je ukupni uticaj turbulencije mali, tako da se u proračunu može koristiti vrednost brzine tonjenja sračunata za uslove nepokretne mešavine [1,2,4].

3. DOMEN PRIMENE POJEDINIH IZRAZA

U zavisnosti od koncentracije i granulometrijskog sastava čvrste faze postoji više karakterističnih slučajeva tonjenja u gustoj mešavini, koji se objašnjavaju u nastavku [13].

Tonjenje u mešavinama bez mrežne strukture. Pri niskoj koncentraciji sitnih čestica (orientaciono, $C_{Vf} < 10\%$), mešavina ne poseduje mrežnu strukturu, a izbor izraza za proračun brzine tonjenja zavisi od koncentracije krupnih frakcija C_{V_k} . Vrednostima C_{V_k} do oko 1% odgovara slučaj taloženja usamljenih zrna, pa se za izračunavanje brzine tonjenja može koristiti izraz (30), uz zamenu $\tau_c = 0$. Pri koncentraciji $C_{V_k} \approx 2 \div 10\%$, dolazi do pojave ometanog taloženja [4], pa se pri ovim i većim koncentracijama koristi izraz (35), pri čemu za izračunavanje brzine W_o treba zameniti $\tau_c = 0$.

Tonjenje u mešavinama sa mrežnom strukturom. Široko je prihvaćeno mišljenje da se mrežna struktura, odnosno granična nosivost mešavine, formira pri koncentraciji čestica $C_{Vf} \approx 10\%$. Uticaj mrežne strukture se ogleda kroz značajno smanjenje zone poremećaja fluida oko zrna koje tone, zbog čega ni pri visokoj koncentraciji zrna ne dolazi do ometanog taloženja. Prepostavlja se da otpor tonjenju zrna izaziva isključivo noseći fluid. Zato se, u ovom slučaju, ne preporučuje

primena izraza (35) za тонjenje групе зрна, већ израз (30), за тонjenje усамљеног зрна [13].

Taloženje mrežne strukture mešavine. Sa porastom koncentracije C_{Vf} iznad 10%, пovećavaju се степен компактности и чврстоće мрежне структуре. Usled постојања граничне носивости, одређени проценат крупних зрна задржава се у мрежној структури, при чему овај проценат расте са пovećањем концентрације C_{Vf} . Пошев од одређене вредности C_{Vf} ($>10\div15\%$, при чему ова вредност зависи од пречника накрупнијег зрна), сва неvezана зрна постaju саставни део мрежне структуре. Меšavina постаје "homogeni" fluid, где укупна чврста фаза tone као једна celina, изузетно малом brzinom. При тонjenju se izdvaja sloj vode na površini i formira jasna granica izdvojene vode i mešavine. U zavisnosti od ukupne koncentracije чврсте фазе, овај процес пре треба посматрати као филтрацију воде кроз поре мрежне структуре, односно као консолидацију чврсте фазе [13]. Sa stanovišta hidrauličkog transporta, тонjenje se u ovom slučaju može zanemariti, а меšavina se u proračunu može tretirati као homogena.

4. PRORAČUN I DISKUSIJA REZULTATA

Koristeći izraze (30), (35) i (36) за прораčун brzine тонjenja, u nastavku je, na конкретном примеру, prikazan uticaj pojedinih faktora na brzinu тонjenja.

Analizirani материјал је pepeo (i šljaka), који настаје сагоревањем угља у TE Drmno u Kostolcu, а који се у виду меšавине транспортује од електране до места одлагања. U студији [22] испитана је могућност транспорта pepela i šljake TE Drmno u виду густе меšавине. U оквиру студије, лабораторијским испитивањима су утврђена физичка својства материјала за четири произвљено изабрана узорка pepela i šljake, захваћена са депоније. Granulometrijski сastav испитаних узорака pepela dat je na Slici 2 (где je p - проценат заступљености честица/зрна пречника D). Gustina материјала iznosi 1900 kg/m^3 . Применом cevastog viskozimetra definisani su reološki параметри меšавина, добијених мешanjem сва четири узорка са водом. Испитан је опсег концентрација укупне чврсте фазе $C_V \approx 30\text{-}40\%$. Примера ради, за меšавине сачинjene од узорка 1 (за које опсегу концентрација $C_V \approx 30\text{-}40\%$ одговара опсег $C_{Vf} \approx 10.4\text{-}13.5\%$), одређене су зависности reoloških параметара од концентрације C_{Vf} у облику:

$$\tau_c = 0.008 \cdot \exp\left(\frac{C_{Vf} (\%) - 10.37}{1.04}\right) \text{ (Pa)},$$

$$\eta = 5 \cdot \exp(C_{Vf} (\%)/6.45) \text{ (mPas)}, \quad (37)$$

$$m = 1 \text{ (/).}$$

Na Slici 3 je analizirano тонjenje зрна густине $\rho_{sk}=1900 \text{ kg/m}^3$ u nosećim fluidima, сачинjenim od воде (густине $\rho_v=998.2 \text{ kg/m}^3$) i različite концентрације честица C_{Vf} . Porast концентрације C_{Vf} uslovjava povećање густине nosećег fluida ρ_l i smanjenje relativne густине Δ (Tabela 1).

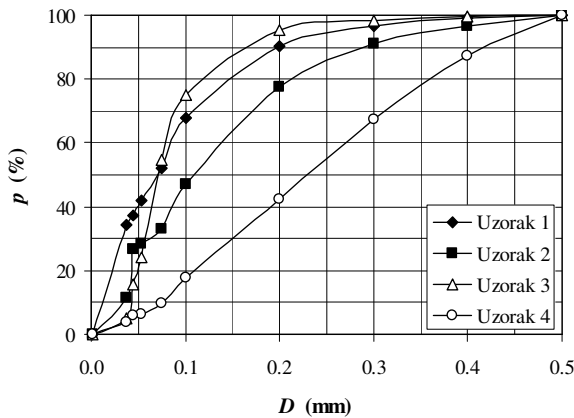
Tabela 1. Vrednosti параметара меšавина, анализираних на Slici 3.

$C_{Vf} (\%)$	0.00	1.20	1.53	3.46	6.50	10.37
$\rho_l (\text{kg/m}^3)$	998.2	1009.0	1012.0	1029.4	1056.8	1091.7
$\Delta (/)$	0.903	0.883	0.877	0.846	0.798	0.740

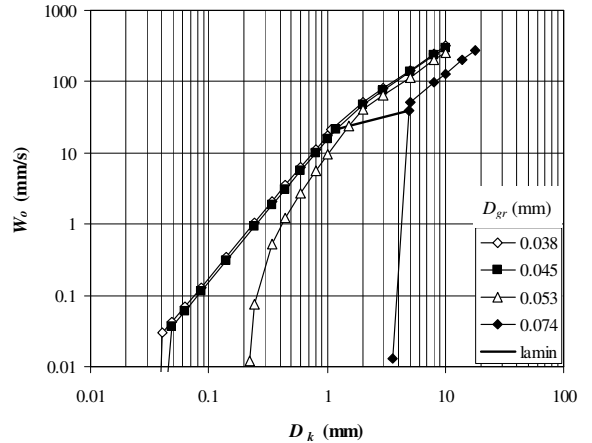
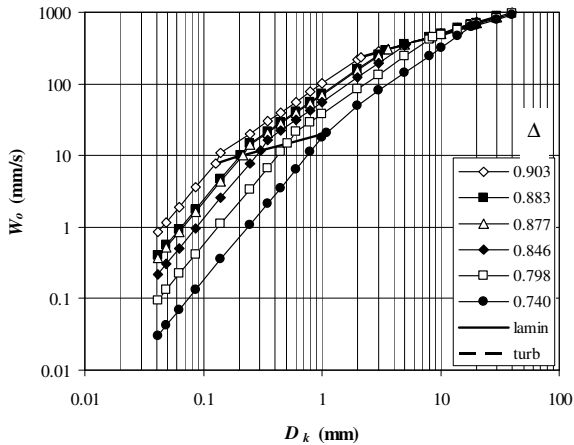
Za materijal datog granulometrijskog сastava, гранична носивост меšавине се формира при $C_{Vf} \approx 10\text{-}11\%$ [22], тако да је за све испитане меšавине $\tau_c=0$. Зависност $\eta(C_{Vf})$ описана је empirijski definisanom eksponencijalnom функцијом, сличном онoj u изразима (37) [22].

Sa Slike 3 se може констатовати да физичка, односно реолошка својства nosećeg fluida, значајно утичу на brzinu тонjenja. Пoređenjem rezultata za $\Delta=0.9$ (чиста вода) i $\Delta=0.74$ ($C_{Vf} \approx 10\%$), долazi се до zaključka да се brzina тонjenja u laminarnom režimu (oblast испод пune linije) razlikuje 20-50 puta. Približno jednakу brzinu тонjenja имају зрно одређене крупноће D_k u vodi i зрна крупноће (4-8) D_k u меšавини (за коју је $\Delta=0.74$).

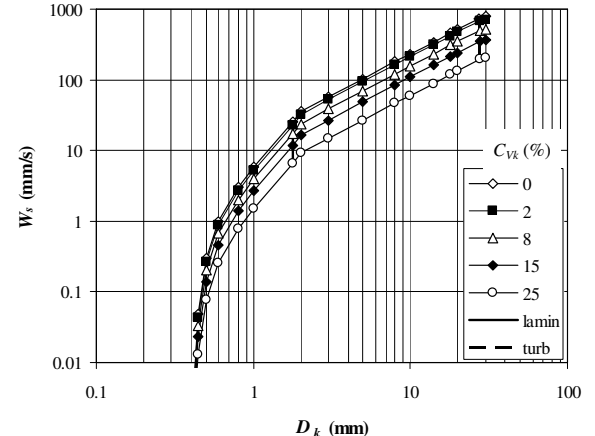
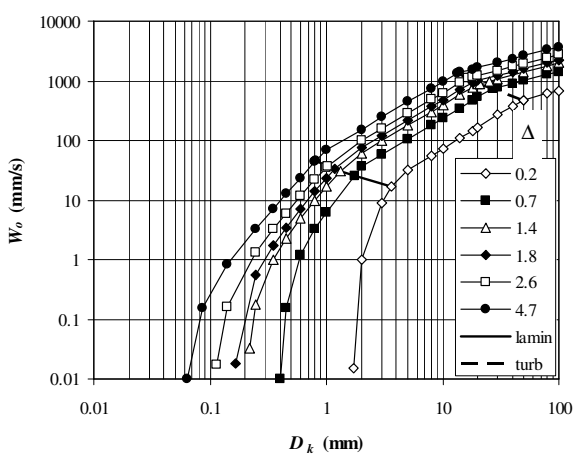
Na Slici 4 je analiziran hipotetički slučaj тонjenja зрна različite густине ρ_{sk} u izabranom nosećem fluidu. За анализу су усвојене вредности ρ_{sk} за неколико mineralnih sirovina iz naše земље (Tabela 2) [5,8,22]. Kao noseći fluid, усвојена је меšавина воде i pepela TE Drmno, sledećih karakterистика [22]: $\rho_{sf}=1900 \text{ kg/m}^3$, $C_{Vf}=13.5\%$, $\rho_l=1119.9 \text{ kg/m}^3$, $\tau_c=0.16 \text{ Pa}$, $\eta=40.55 \text{ mPas}$.



Slika 2. Granulometrijski sastav pepela TE Drmno [22].

Slika 5. Uticaj izbora prečnika D_{gr} na brzinu tonjenja.Slika 3. Uticaj relativne gustine Δ na brzinu tonjenja.

Uzrok promene Δ je promena ρ_l , odnosno C_{Vf} .

Slika 6. Uticaj koncentracije C_{V_k} na brzinu tonjenja.Slika 4. Uticaj relativne gustine Δ na brzinu tonjenja.

Uzrok promene Δ je promena ρ_{sk} .

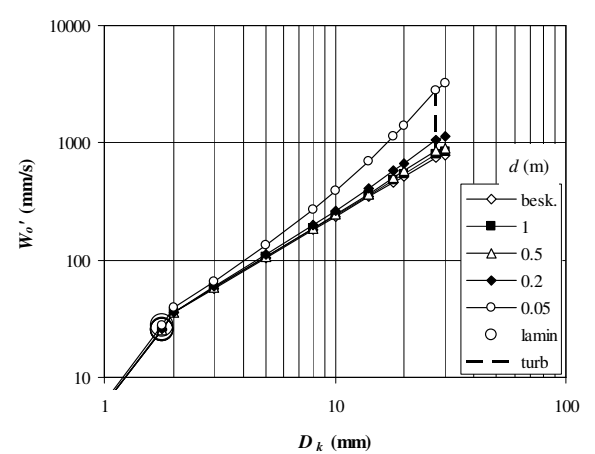
Slika 7. Uticaj ograničenosti запремине fluidа, израђене користећи параметар d , на брзину тонjenja.

Tabela 2. Vrednosti ρ_{sk} sirovina analiziranih na Slici 4.

Sirovina	Poreklo	ρ_{sk} (kg/m ³)	Δ (/)
Lignit	Kolubara, Lazarevac	1300	0.2
Pepeo/šljaka	TE Drmno, Kostolac	1900	0.7
Ruda bakra	V. Krivelj, Bor	2650	1.4
Ruda olova i cinka	Rudnik, Rudnik	3100	1.8
Koncentrat bakra	V. Krivelj, Bor	4000	2.6
Koncentrat olova	Rudnik, Rudnik	6400	4.7

U laminarnom režimu tonjenja, brzina taloženja zrna bakra ($\Delta=1.4$) u posmatranom nosećem fluidu, veća je za oko red veličine, a zrna olova ($\Delta=4.7$), za oko dva reda veličine, u odnosu na brzinu tonjenja zrna lignita ($\Delta=0.2$). U turbulentnom režimu tonjenja, ove razlike se smanjuju, orientaciono, na polovinu (Slika 4). Jednaku brzinu tonjenja imaju zrno olova ($\Delta=4.7$) i zrno lignita ($\Delta=0.2$) približno 10 puta veće krupnoće. Primenom izraza (34), može se sračunati da prečnik najkrupnijeg zrna lignita ($\Delta=0.2$), koje se neće taložiti u posmatranom nosećem fluidu (usled postojanja granične nosivosti) iznosi $D_o=0.43$ mm, a na Slici 4 se vidi da je brzina tonjenja i krupnijih zrna ($D_k < 1$ mm) zanemarljivo mala.

Na Slici 5 je analiziran uticaj usvojene vrednosti "graničnog" prečnika D_{gr} , kojim se razdvajaju čestice ($D=D_f < D_{gr}$) i zrna ($D=D_k > D_{gr}$) čvrste faze. U literaturi se, za određivanje dela čvrste faze koji učestvuje u formiranju nosećeg fluida, koriste različite vrednosti: 0.105 mm ili 0.074 mm [4], 0.050 mm [3], 0.035 mm [2]. Značaj izbora vrednosti D_{gr} zavisi od granulometrijskog sastava čvrste faze. Sve dok, za razne vrednosti D_{gr} , nema izrazite promene koncentracije C_{Vf} i vrednosti reoloških parametara, može se usvojiti bilo koja od datih vrednosti [4]. Kada je u pitanju materijal sa velikim učešćem sitnih frakcija, izbor vrednosti D_{gr} bitno utiče na rezultate proračuna, što će se videti u primeru koji sledi.

Na Slici 5 su prikazani rezultati analize za uzorak pepela broj 1. Vrednosti fizičkih parametara date su u Tabeli 3.

Tabela 3. Vrednosti parametara mešavine za usvojene različite vrednosti D_{gr} .

D_{gr} (mm)	0.038	0.045	0.053	0.074
p (%)	34.5	37.1	42.1	52.3
C_{Vf} (%)	10.37	11.15	12.66	15.72
ρ_l (kg/m ³)	1091.7	1098.8	1112.4	1140.0
τ_c (Pa)	0.00	0.02	0.07	1.37
η (mPas)	24.96	28.18	35.57	57.22

Za vrednosti $D_{gr}=0.038$ mm i 0.045 mm, razlike sračunatih brzina tonjenja su zanemarljivo male, jer se vrednosti τ_c i η neznatno menjaju. Za usvojenu vrednost $D_{gr}=0.053$ mm, dolazi do pojave granične nosivosti u nosećem fluidu i do značajnijeg povećanja viskoznosti, pa zavisnost W_o (D_k) u laminarnoj oblasti tonjenja odstupa od prethodnih. U slučaju $D_{gr}=0.074$ mm, radi se o nosećem fluidu značajne granične čvrstoće i viskoznosti, tako da su sračunate vrednosti W_o izrazito manje u odnosu na prethodne slučajeve. Za $D_{gr}=0.053$ mm, dobija se da praktično nema tonjenja zrna finog peska ($D_k < 0.25$ mm), dok se pri $D_{gr}=0.074$ mm može zaključiti da nema tonjenja ni najkrupnijih frakcija peska ($D_k < 2$ mm).

Može se konstatovati da, u konkretnom slučaju, ima velikog značaja koja će se vrednost D_{gr} usvojiti za proračun brzine tonjenja i to je posledica granulometrijskog sastava materijala, u kome značajno učešće imaju frakcije gline i prašine.

Generalno, preporučuje se izbor najmanje raspoložive vrednosti D_{gr} (u ovom slučaju, 0.038 mm), jer se na taj način dobijaju rezultati na strani sigurnosti. Ovo je naročito važno u laminarnoj oblasti tonjenja, dok prelaskom u prelaznu, pa turbulentnu oblast tonjenja, pitanje izbora vrednosti D_{gr} gubi značaj.

Na Slici 6 je razmatrano ometano taloženje zrna pepela i šljake, gustine $\rho_{sk}=1900$ kg/m³, u nosećem fluidu sledećih svojstava: $\rho_{sf}=1900$ kg/m³, $C_{Vf}=13.5\%$, $\rho_l=1119.9$ kg/m³, $\Delta=0.697$, $\tau_c=0.16$ Pa, $\eta=40.55$ mPas.

Ispitan je širok opseg koncentracija зрна, од $C_{V_k}=0$ (usamljeno зрно), до $C_{V_k}=25\%$, čemu odgovaraju vrednosti ukupne koncentracije čvrste faze od $C_V=13.5\%$ до $C_V \approx 39\%$. За зрна ситног песка ($D_k < 0.5$ mm), uticaj koncentracije зрна је занемарљиво мали. Овaj uticaj se, у laminarnoj oblasti, povećava sa povećanjem пречника зрна, а затим се, по ulasku у prelaznu oblast, ustaljuje. Brzina tonjenja зрна sitnog i šljunka srednje krupnoće ($2 \text{ mm} < D_k < 20 \text{ mm}$) у испитаном nosećem fluidu, veća је 3-6 puta при концентрацији зрна $C_{V_k}=25\%$ ($C_V \approx 39\%$), nego у slučaju usamljenog зрна ($C_{V_k}=0$, $C_V=13.5\%$).

На Слици 7 је ilustrovan uticaj ograničenosti zapremine у којој se odvija tonjenje, на brzinu tonjenja usamljenog зрна, W_o . Ispitano je pet slučajeva, počev od tonjenja u fluidu neograničene zapremine ($d \rightarrow \infty$), до tonjenja u суду malih dimenzija ($d=5$, односно 20 cm). Uticaj ograničenosti запремине је занемарљив при вредностима $D_k/d < 1/50$, dok је за вредности $D_k/d < 1/25$, у границама од 10%. Obzirom да пречник najkrupnijeg зрна материјала који се prenosi hidrauličkim transportom retko prelazi $D_k=5$ mm (што дaje $d=25D_k=125$ mm), uticaj ограничења запремине на brzinu tonjenja најчешће остaje у navedenim okvirima od 10%.

5. ZAKLJUČAK

Poslednjih godina, hidraulički transport čvrstih материјала у виду густе мешавине sve više потискује konvencionalnu технологију транспорта у виду ретке пулпе, пре свега zbog veće ekonomičnosti при транспорту i pozitivnih техничких, економских i еколошких ефеката при oдлaganju. Osnovna razlika dva vida hidrauličkog транспорта ogleda se u примененом транспортном medijumu. U klasičnom поступку, noseći fluid је вода, а у новом, мешавина воде i dela čvrste фазе која, у општем случају, може имати својства nenjutnovskog fluida. Jedna od posledica nenjutnovskog карактера nosećег fluida јесте uticaj na brzinu tonjenja krupnih frakcija u mešavini.

Nenjutnovska својства nosećег fluida se, у прорачуну, moraju opisati konstitutivном vezom – eksperimentalno definisanim reološkim modelom. Postupak proračuna koefficijenta otpora tonjenju зрна i brzine tonjenja, може се svesti na "njutnovski", ukoliko se Reynolds-ов број зрна formuliše u proširenom облику, tako da obuhvati sve reološke parametre mešavine. Brzina tonjenja zavisi

od jednog dodatnog parametra – graničне nosivosti мешавине. Usled постојања graničне nosivости, један део čvrste фазе se ne taloži ni u stanju mirovanja мешавине. Najveći uticaj на brzinu tonjenja зрна imaju reološka својства nosećег fluida. Brzina tonjenja истог зрна u nenjutnovskoj mešavini i u чистој води, може se razlikovati za više redova величине.

LITERATURA

- [1] Wasp, E.J., Kenny, J.P., Gandhi, R.L. Solid-liquid flow: Slurry pipeline transportation, Gulf Publishing Co., Houston, USA, 1978.
- [2] Hanks, R.W. Principles of slurry pipeline hydraulics. Chapter 6 in: Encyclopedia of Fluid Mechanics, Vol.5: Slurry and suspension flow properties, Cheremisinoff, N.P. ed., Gulf Publishing Co., Houston, USA, 1986.
- [3] Šašić, M. Transport fluida i čvrstih materijala cevima, Naučna knjiga, Beograd, 1990.
- [4] Shook, C.A., Roco, M.C. Slurry flow - Principles and Practice, Butterworth-Heinemann, Reed Publishing Inc., Boston, USA, 1991.
- [5] Knežević, D., Kolonja, B., Stanković, R. Hidraulički transport mineralnih sirovina, Rudarsko-geološki fakultet, Beograd, 1996.
- [6] Chhabra, R.P., Richardson, J.F. Hydraulic transport of coarse particles in viscous Newtonian and non-Newtonian media in a horizontal pipe, Chem.Eng.Res. Des., ICE, Vol.63, Nov., 1985.
- [7] Swamee, P.K. Design of Sediment-Transporting Pipeline, Jour. Hydr. Eng., ASCE, 110(11), 1995.
- [8] Komatina, D. Fizički процеси i modeliranje tokova nenjutnovskih fluida sa slobodnom površinom, doktorska disertacija, Građevinski fakultet, Beograd, 1999.
- [9] Atapattu, D.D., Chhabra, R.P., Uhlherr, P.H.T. Creeping sphere motion in Herschel-Bulkley fluids: flow field and drag, Jour. Non-Newton. Fluid Mech., Vol.59, 1995.
- [10] Beris, A.N., Tsamopoulos, J.A., Armstrong, R.C., Brown, R.A. Creeping motion of a sphere through a Bingham plastic, Jour. Fluid Mech., Vol.158, 1985.
- [11] Dedegil, M.Y. Drag coefficient and settling velocity of particles in non-Newtonian suspensions. Proc. of the Int. Symp. on Slurry Flows, Roco, M.C. & Wiedenroth, W., Eds., ASME, New York, USA., Vol.FED-38, 1986.

- [12] Du Plessis, M.P., Ansley, R.W. Settling parameter in solids pipelining, Journal of Pipeline Division, ASCE, Vol.93, No.PL2, 1967.
- [13] Wan, Z., Wang, Z. Hyperconcentrated flow, IAHR Monograph series, Balkema, Rotterdam, The Netherlands, 1994.
- [14] Park, J.T., Grimley, T.A., Mannheimer, R.J. LDA velocity profile measurements of a non-Newtonian slurry with various yield stresses in turbulent pipe flows, Proc. of the 2nd Int. Conf. on Multiphase Flow, Kyoto, Japan, IF3, 1995.
- [15] Woo, H.S., Julien, P.Y., Richardson, E.V. Suspension of large concentrations of sands, Jour. Hydr. Eng., ASCE, 114(8), 1988.
- [16] Cheng, N.-S. Effect of concentration on settling velocity of sediment particles, Jour.Hydr.Eng., ASCE, 123(8), 1997.
- [17] Chhabra, R.P., Unnikrishnan, A., Unnikrishnan Nair, V.R. Hindered settling in non-Newtonian power law liquids, Can.Jour.Chem.Eng., Vol.70, 1992.
- [18] Chhabra, R.P., Singh, T., Nandrajog, S. Drag on chains and agglomerates of spheres in viscous Newtonian and power law fluids, Can. Jour. Chem. Eng., Vol.73, 1995.
- [19] Chhabra, R.P., Uhlherr, P.H.T. Wall effect for high Reynolds number motion of spheres in shear thinning fluids, Chem. Eng. Commun., Vol.5, 1980.
- [20] Chhabra, R.P. Wall effects on free-settling velocity of non-spherical particles in viscous media in cylindrical tubes, Powder Technology, Vol.85, 1995.
- [21] Chhabra, R.P. Wall effects on terminal velocity of non-spherical particles in non-Newtonian polymer solutions, Powder Technology, Vol.88, 1996.
- [22] Monevski, B., Marković, Z., Milojković, M., Rajković, D., Komatina, D., Živanović, M., Radosavljević, S., Radosavljević, A., Bužalo, A. Ispitivanje uslova pripreme i transporta pepela i šljake TE Drmno u obliku gусте пулпе, студија, Rudarski institut, Zemun, 1998.

HYDRAULIC TRANSPORT OF COARSE PARTICLES IN NON-NEWTONIAN MEDIA, PART I: SETTLING OF PARTICLES

by

Dejan KOMATINA
Faculty of Civil Engineering, Belgrade

Summary

Hydraulic transport of coarse particles in non-Newtonian media has been extensively used in mining industry, for technical, economic and environmental benefits associated with the technology. Settling of particles in non-Newtonian fluids is discussed in the paper, being one of the crucial tasks for a proper design of the hydraulic transport parameters. Procedures for the estimation of the drag coefficient and settling velocity are described, and

the applicability of the relationships discussed. Influence of different factors onto the settling velocity is illustrated through an example, and characteristics of the phenomenon are underlined.

Key words: hydraulic transport, coarse particles, non-Newtonian medium, dense slurry, settling velocity, drag coefficient.

Redigovano 20.04.2005.